

## ВЛИЯНИЕ ФЛУКТУАЦИЙ СОСТАВА НА СПЕКТРЫ ОТРАЖЕНИЯ И ЛЮМИНЕСЦЕНЦИИ МОНОКРИСТАЛЛОВ ТВЕРДЫХ РАСТВОРОВ $Zn_x Cd_{1-x} Se$

Ю.В. Коростелин, П.В. Шапкин, Л.Г. Суслина \*, А.Г. Арешкин \*, Л.С. Марков \*, Д.Л. Федоров \*\*

Проведено исследование низкотемпературных спектров отражения и люминесценции кристаллов  $Zn_x Cd_{1-x} Se$  при  $0,8 < x < 1,0$  в области края поглощения. Обнаружены особенности этих спектров, связанные с воздействием крупномасштабных флуктуаций состава на экситонные состояния.

Твердые растворы относятся к слабо неупорядоченным системам, в которых беспорядок связан со случаем распределением замещаемых атомов по узлам соответствующей подрешетки. Взаимодействие электронных (экситонных) возбуждений с крупномасштабными флуктуациями состава приводит к процессам их локализации с образованием хвоста плотности локализованных экситонных состояний (ЛЭС) в запрещенной зоне, а также к рассеянию делокализованных экситонных состояний (ДЭС) /1, 2/.

Роль крупномасштабных флуктуаций потенциала в твердых растворах прослеживается при изучении их спектров отражения, поглощения и люминесценции при низких температурах. Флуктуационный беспорядок вызывает зависящее от концентрации уширение экситонных спектров отражения и линий излучения экситонных комплексов, а также появление нового канала излучения ЛЭС /3-6/.

В настоящей работе проведено исследование низкотемпературных спектров отражения и люминесценции системы  $Zn_x Cd_{1-x} Se$  при  $0,8 < x < 1,0$  в области края поглощения, что позволило обнаружить специфические особенности этих спектров, связанные с проявлением крупномасштабных флуктуаций потенциала. Эти исследования представляют интерес в связи с перспективностью использования кристаллов  $Zn_x Cd_{1-x} Se$  в лазерных электронно-лучевых приборах (ЛЭЛП) различного назначения, в частности, в цветных лазерных телепроекторах /7/.

Кристаллы с указанным составом обладали кубической структурой сфалерита, что установлено рентгенографическими исследованиями и изучением их спектров экситонного отражения при низких температурах /8/. Монокристаллические образцы  $Zn_x Cd_{1-x} Se$  диаметром 50 мм и высотой до 20 мм получены из паровой фазы методом свободного роста /7/.

Исследования спектров экситонного отражения проводились при низких температурах (77 и 2 К) при почти нормальном падении света на плоскости скола [110]. В спектрах отражения на краю основного поглощения обнаружена узкая неполяризованная линия отражения, обладающая дисперсионной структурой и соответствующая основному экситонному переходу  $\Gamma_8 - \Gamma_6$  кристаллов сфалерита. Для кристаллов различного состава расстояние между максимумом и минимумом дисперсионной структуры отражения растет с увеличением концентрации ( $1-x$ ) твердого раствора, что связано с ростом степени его флуктуационного беспорядка /1 – 3/.

Интерпретация концентрационной зависимости уширения спектров экситонного отражения твердого раствора  $Zn_x Cd_{1-x} Se$  проводилась на основании теоретических расчетов Эфроса с сотрудниками /1, 2/, в которых учитывалось размытие края экситонной зоны за счет процессов локализации экситонов крупномасштабным случаем потенциалом и их рассеяния на флуктуациях этого потенциала. Уширение  $\Delta_0$  экситонной линии поглощения в спектре твердого раствора в случае, когда экситон локализуется как целое флуктуационным потенциалом, описывается зависимостью /2/

$$\Delta_0 = 0,08 \left( \frac{d\epsilon_A}{dx} \right)^4 \frac{M^3 x^2 (1-x)^2}{N^2 \hbar^6}, \quad (1)$$

\*ФТИ АН СССР, Ленинград.

\*\* ЛМИ, Ленинград.

где  $d\epsilon_A/dx$  – "скорость" изменения положения экситонной линии с составом;  $M = m_e + m_h$  – трансляционная масса экситона;  $N$  – число узлов решетки, в которых происходит замещение. При расчете использовались данные для  $M = 0,7m_0 / 10$ ,  $N$  определялось из данных для постоянной решетки ZnSe-zB и CdSe-zB с учетом ее линейной зависимости от  $x$ , величина  $d\epsilon_A/dx$  получена из [8]. В качестве уширения  $\Delta_0$  экситонной линии отражения бралось расстояние между максимумом и минимумом дисперсионной кривой отражения за вычетом величины продольно-поперечного расщепления  $\Delta_{LT}$ , которое для ZnSe и CdSe близко ( $\Delta_{LT} \sim 1,3$  мэВ [9]).

Сопоставление теоретической кривой (сплошная кривая на рис. 1) с экспериментальными данными (точки) показывает, что теоретическая зависимость (1) может описать эксперимент лишь при значениях  $x$  в области  $0,9 < x < 1,0$ ; для составов  $0,8 < x < 0,9$  теоретическая кривая лежит выше экспериментальных значений. Оценка линейного размера  $R_\Delta$  оптимальной флуктуации, локализующей экситон как целое [1, 2],

$$R_\Delta = \hbar/\sqrt{2M\Delta_0}, \quad (2)$$

показывает, что  $R_\Delta \geq a_B$  (боровский радиус экситона в ZnSe  $a_B = 43$  Å [9]) выполняется при значениях  $\Delta_0 \leq 3$  мэВ, т.е. для  $x$  в области  $0,9 \div 1,0$  (рис. 1). При  $x < 0,9$  для описания экспериментальных данных необходимо учитывать предельные случаи теории [2]. Так, судя по нашим оценкам, для системы  $Zn_xCd_{1-x}Se$  с катионным замещением, у которой с изменением состава ширина запрещенной зоны меняется преимущественно за счет зоны проводимости [10] и флуктуации состава влияют в основном на электронную составляющую экситона, следует применять модель "донорного атома" [2].

Рис. 1. Концентрационная зависимость уширения линии экситонного отражения  $\Delta_0$  в спектрах твердых растворов  $Zn_xCd_{1-x}Se$  при  $T = 2$  К.

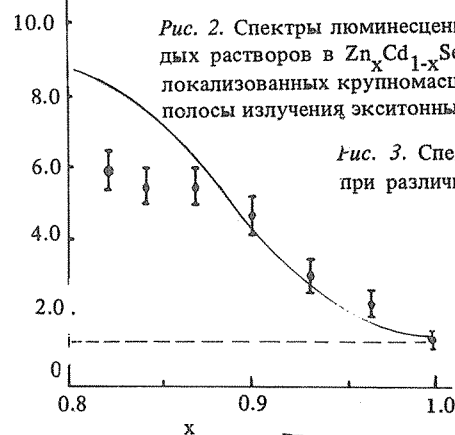


Рис. 2. Спектры люминесценции (сплошные линии) и отражения (пунктир) твердых растворов в  $Zn_xCd_{1-x}Se$  для  $0,8 < x < 1,0$  и  $T = 2$  К.  $I_L$  – линия излучения локализованных крупномасштабными флуктуациями состава экситонов,  $I_{1,2}$  – полосы излучения экситонных комплексов.

Рис. 3. Спектры излучения кристаллов в  $Zn_{0,84}Cd_{0,16}Se$  при различных температурах.

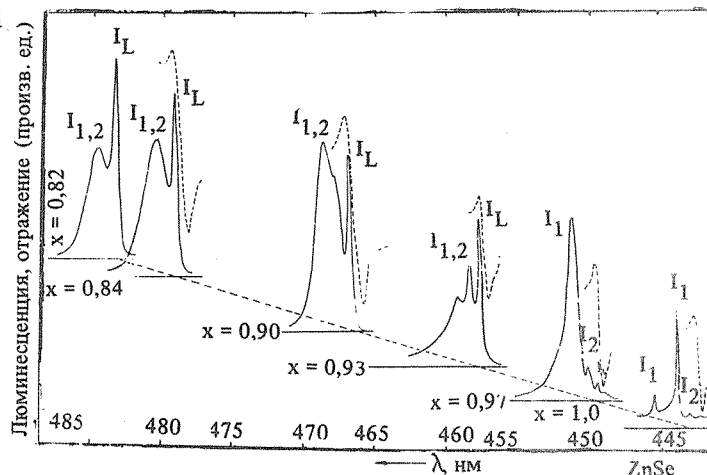


Рис. 2

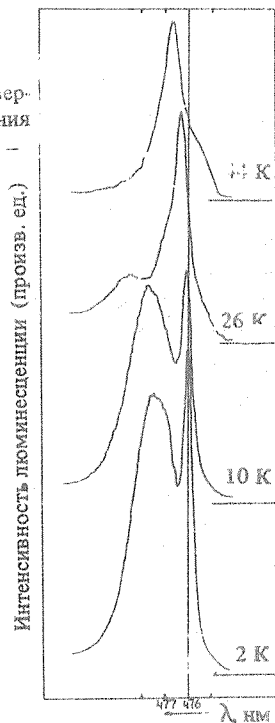


Рис. 3

Для обнаружения особенностей спектров излучения твердых растворов, связанных с флюктуационной неупорядоченностью их решетки, необходимо проследить за эволюцией спектров по мере изменения концентрации  $x$  раствора, начиная со спектров крайних бинарных соединений. В спектрах излучения кристаллов  $ZnSe$  наиболее интенсивными являются линии люминесценции экситонных комплексов (экситонов, связанных на нейтральных акцепторах и донорах)  $I_1$ ,  $I_1^*$ ,  $I_2$  и их фоновые повторения. Число этих линий и их интенсивность могут изменяться от образца к образцу, так как соответствующие примеси – доноры и акцепторы – являются неконтролируемыми [9]. Собственная экситонная люминесценция  $ZnSe$  при низких температурах (2 К) в исследованных нами кристаллах оказалась очень слабой, а соответствующая узкая линия излучения находится в области дисперсионной кривой отражения (рис. 2).

Линии излучения экситонных комплексов в спектрах твердых растворов  $Zn_xCd_{1-x}Se$  обнаруживают концентрационно-зависимое неоднородное уширение [11] и при концентрациях  $x = 0,84$  и  $0,82$  образуют одну широкую полосу излучения, которая в действительности является суперпозицией двух кривых с расстоянием между ними  $\sim 5 \text{ \AA}$ . Для разных кристаллов с единым  $x$  соотношение интенсивностей этих кривых может меняться, что приводит к существенному изменению ее положения и формы (рис. 2).

В спектрах излучения кристаллов  $Zn_xCd_{1-x}Se$  при  $T = 2 \text{ K}$  удалось обнаружить узкую наиболее коротковолновую линию излучения  $I_L$ , которая интерпретируется нами как линия люминесценции ЛЭС и обладает следующими особенностями.

1. Линия  $I_L$  обнаруживает плавный рост интенсивности с увеличением степени неупорядоченности (т.е. с изменением  $x$ ). Если для  $x = 0,97$  ее интенсивность мала, то для  $x = 0,9$  она превышает интенсивность полосы излучения экситонных комплексов (рис. 2). Этот эффект связан с увеличением плотности ЛЭС с  $x / 1,2$ .

2. По своему расположению линия  $I_L$  находится в области дисперсионной структуры линии отражения (ее максимум совпадает с максимумом структуры отражения – рис. 2), что свидетельствует о ее экситонной природе.

3. Линия  $I_L$  обнаруживает быстрое уширение с ростом температуры кристалла. Так, для кристаллов с  $x = 0,84$  в температурном интервале  $2 \div 40 \text{ K}$  она уширяется (начиная с  $2 \text{ мэВ}$ ) более чем в 2 раза (рис. 3), так что ее полуширина становится близкой к полуширине линии отражения ( $6 \text{ мэВ}$ ). С ростом температуры кристалла, начиная с  $2 \text{ K}$ , имеют место процессы делокализации экситонных возбуждений с включением в излучательный процесс более высокознергетических экситонных состояний, что сопровождается постепенным уширением линии  $I_L$ . При более высоких температурах, когда  $kT > E_0$  ( $E_0$  – характерная энергия, описывающая спад функции плотности ЛЭС [2]), излучательные процессы протекают с участием делокализованных экситонных состояний. Так, при температурах выше  $40 \text{ K}$  после завершения диссоциации экситонных комплексов линия излучения делокализованных экситонов полностью доминирует в спектре излучения (рис. 3).

В заключение отметим, что обнаруженные особенности спектра излучения кристаллов в  $Zn_xCd_{1-x}Se$  имеют ту же специфику, что и наблюдавшиеся ранее для  $Zn_xCd_{1-x}S$  [4 – 6], что указывает на их общий характер.

Авторы благодарны А.С. Насибову и В.И. Козловскому за обсуждение результатов.

#### ЛИТЕРАТУРА

- Барановский С.Д., Эфрос А.Л. ФТП, 12, 2233 (1978).
- Аблязов Н.Н., Райх М.Э., Эфрос А.Л. ФТТ, 25, 353 (1983).
- Суслина Л.Г. и др. ФТП, 12, 2238 (1978).
- Арешкин А.Г., Суслина Л.Г., Федоров Д.Л. Письма в ЖЭТФ, 35, 427 (1982).
- Суслина Л.Г. и др. ФТТ, 25, 3215 (1983).
- Суслина Л.Г. и др. Письма в ЖЭТФ, 39, 48 (1984).
- Ахекян А.М. и др. Квантовая электроника, 12, 1113 (1985).
- Арешкин А.Г. и др. ФТТ, 28, 3743 (1986).
- Röppischer H., Jacobs J. J., Novikov B.V. Phys. Stat. Sol., (a), 27, 123 (1975).
- Abiyasov N. N. et al. Phys. Stat. Sol., (b), 134, 157 (1986).
- Suslina L.G. et al. Phys. Stat. Sol. (b), 94, 185 (1979).

Поступила в редакцию 29 декабря 1987 г.